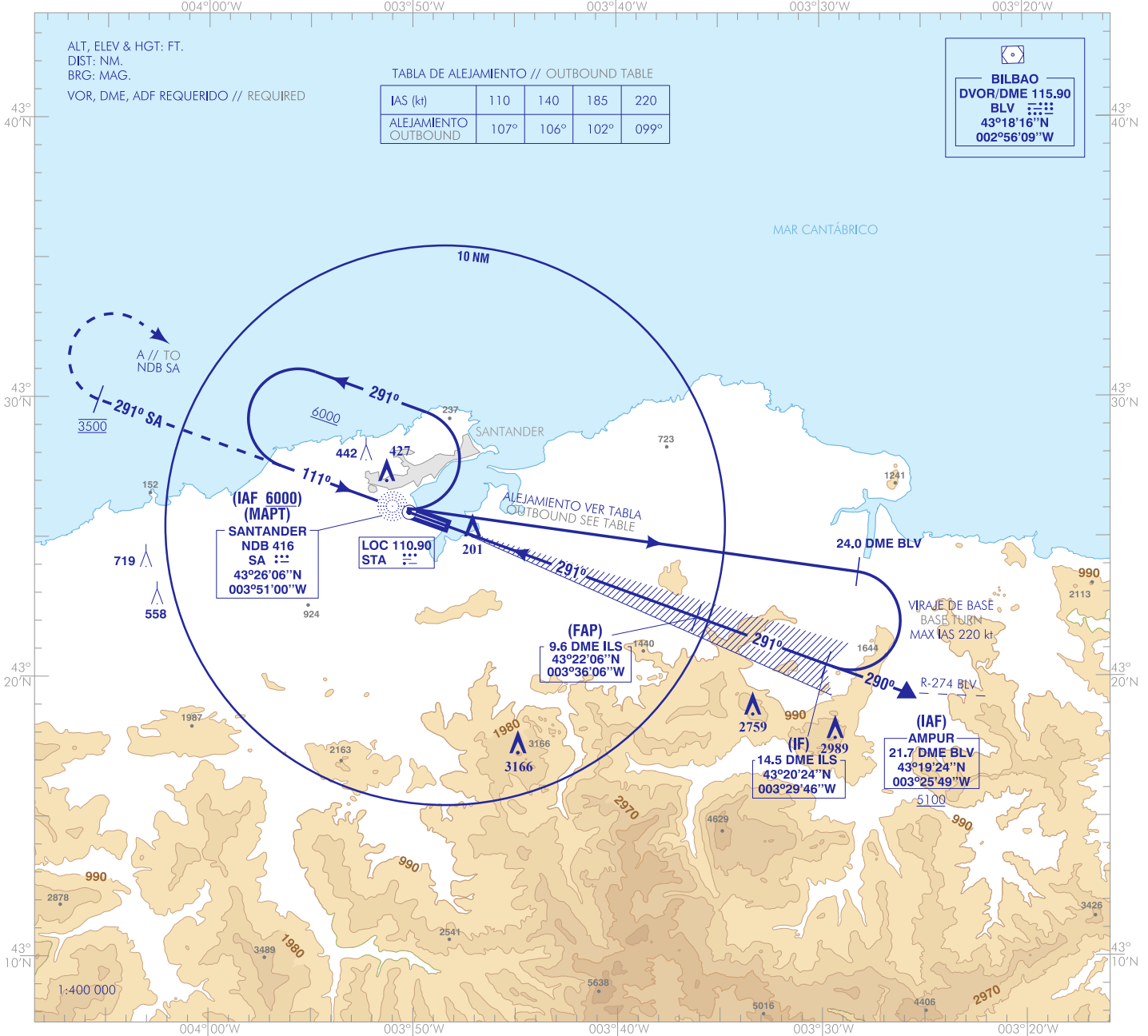


CARTA DE APROXIMACIÓN
POR INSTRUMENTOS-OACI

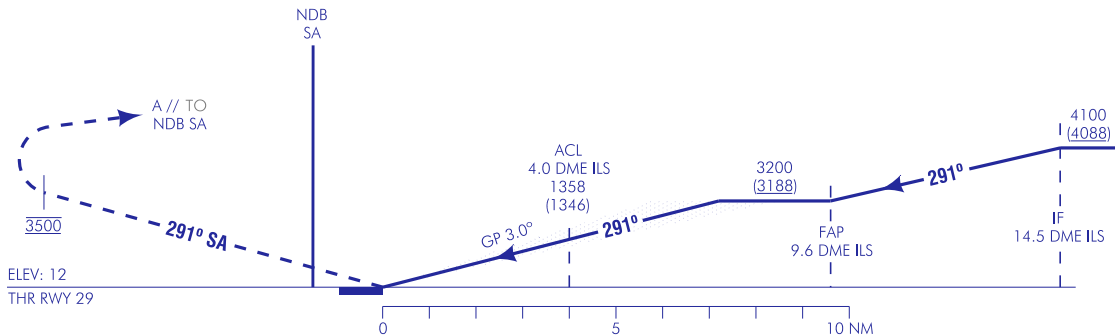
ELEV AD
16
VAR 1°W (2020)

APP 118.375
TWR 118.100
GMC 121.700
ATIS 127.525

SANTANDER/Seve Ballesteros-Santander
ILS Y
RWY 29



FRUSTRADA: SUBIR EN RUTA MAGNÉTICA 291° SA HASTA 3500. VIRAR A LA DERECHA DIRECTO AL NDB SA ASCIENDIENDO A 6000 PARA INTEGRARSE A LA ESPERA.
MISSED APCH: CLIMB ON MAGNETIC TRACK 291° SA UP TO 3500. TURN RIGHT DIRECT TO NDB SA CLIMBING AT 6000 TO JOIN THE HOLDING.



CAMBIOS: FREQ. DE NUEVO ATIS.
CHANGES: NEW ATIS' FREQ.

NO OFZ RWY 29

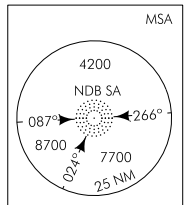
HGT REF ELEV THR RWY 29

OCA/H		A	B	C	D
STA	CAT I	347 (335)	359 (347)	367 (355)	378 (366)
En círculo (H) sobre Circling (H) over		16	820 (810)	2010 (2000)	2500 (2490)

GS	kt	80	100	120	140	160	180
FAP-THR: 9.6 NM	min:s	7:11	5:45	4:47	4:06	3:35	3:11
FAF-MAPT:	min:s						
ROD: 5.2 %	ft/min	425	531	637	743	849	955

ALT/HGT DME (ILS) FNA												
13	12	11	10	9	8	7	6	5	4	3	2	1
				3010 (3000)	2680 (2670)	2350 (2340)	2020 (2010)	1690 (1680)	1360 (1350)	1040 (1030)	720 (700)	390 (380)

TA 6000 ILS RDH 58



SANTANDER/Seve Ballesteros-Santander AD

REQUISITOS DE LA BASE DE DATOS AERONÁUTICA
 AERONAUTICAL DATABASE REQUIREMENTS

PROCEDIMIENTOS DE APROXIMACIÓN POR INSTRUMENTOS // INSTRUMENT APPROACH PROCEDURES

ILS Y RWY 29

PUNTO POINT	LATITUD LATITUDE	LONGITUD LONGITUDE	AZIMUT VERDADERO TRUE BEARING	DISTANCIA DME DME DISTANCE (NM)
NDB SA (IAF)	43°26'06.2"N	003°50'59.6"W	—	—
AMPUR (IAF)	43°19'24.2"N	003°25'49.4"W	273.18° (BLV)	21.69 DME BLV
IF	43°20'23.7"N	003°29'46.0"W	110.13° (LOC STA)	14.50 DME ILS
FAP	43°22'06.5"N	003°36'06.2"W	110.13° (LOC STA)	9.57 DME ILS
Aproximación final de precisión - Pendiente (Ángulo de descenso) // Precision final approach - Slope (Descent angle)				5.24% (3.00°)

